

\* \* \*

## Формирование уравнений состояния линейных электрических цепей с обобщенными индуктивными сечениями и емкостными контурами

КУРГАНОВ С.А., ФИЛАРЕТОВ В.В.

*Доказано существование уравнений состояния для независимых переменных в цепях с управляемыми источниками, содержащих обобщенные индуктивные сечения и емкостные контуры. Предлагается методика формирования уравнений состояния минимальной размерности без трудоемких операций исключения зависимых переменных.*

**Ключевые слова:** уравнения состояния, индуктивное сечение, емкостный контур, управляемые источники

Уравнения состояния (УС) линейной электрической цепи – это система дифференциальных уравнений первого порядка в нормальной форме [1]:

$$p\mathbf{x} = \mathbf{A}\mathbf{x} + \mathbf{B}\mathbf{v}, \quad (1)$$

где  $\mathbf{x}$ ,  $\mathbf{v}$  – векторы переменных состояния и воздействий соответственно;  $\mathbf{A}$ ,  $\mathbf{B}$  – вещественные матрицы;  $p = d/dt$  – оператор дифференцирования.

**Порядок сложности цепи.** Уравнения (1) являются распространенной моделью для анализа пере-

*The existence of state equations for independent variables in circuits with controlled sources containing generalized inductive sections and capacitive loops is proven. A procedure for constructing state equations with the minimal dimension without laborious operations of eliminating dependent variables is proposed.*

**Key words:** state equations, inductive section, capacitive loop, controlled sources

ходных процессов в электрических цепях, поскольку разработаны эффективные методы их решения, в том числе с «жесткими» параметрами [2]. Можно уменьшить размерность системы (1) для RLC-цепей на число индуктивных сечений и емкостных контуров [1, 3].

В [3] доказано, что для RLCM-схем всегда возможно построение УС, число которых равно порядку сложности цепи. Порядок сложности RLCM-цепи (ранг цепи  $r$ ) меньше общего числа емкостей и индуктивностей (взаимоиндуктивно-

стей) на число емкостных и индуктивных контуров и сечений. Индуктивное или емкостное сечение может включать независимые источники (НИ) тока, а емкостный или индуктивный контур – НИ напряжения.

Вместе с тем, в [1] и [3] не определен порядок сложности цепей с управляемыми источниками (УИ). В [1] утверждается, что схемы на рис. 1, *a* и *b* имеют соответственно один и два контура из конденсаторов и УИ напряжения, но в первой из них  $r=0$ , а во второй  $r=n_c$ .

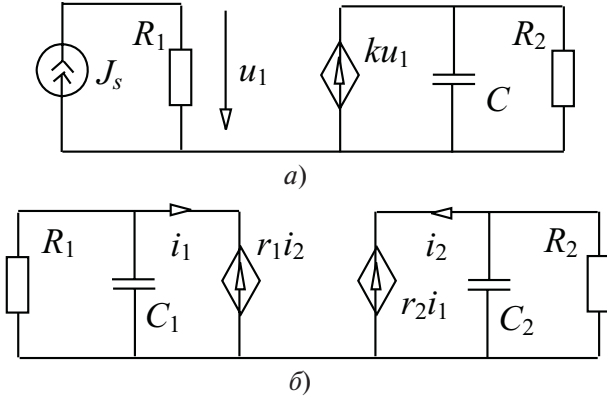


Рис. 1. Схемы с управляемыми источниками: с контуром из конденсатора и УИ напряжения (*a*); без особых контуров (*b*)

Однако вывод «из-за наличия зависимых источников нельзя по топологии схемы выявить зависимые напряжения и токи» [1, с. 293] ошибочен, поскольку первая схема (рис. 1, *a*) имеет контур из конденсатора и УИ, а во второй схеме (рис. 1, *b*) нет особых контуров, если учесть управляющие ветви тока  $i_1$  и  $i_2$ .

**Обобщенные емкостные и индуктивные контуры и сечения.** Если  $n_C$  и  $n_L$  – число емкостей и индуктивностей,  $n_{SL}$  и  $n_{SC}$  – число обобщенных индуктивных и емкостных сечений, а  $n_{KC}$ ,  $n_{KL}$  – число обобщенных емкостных и индуктивных контуров, то ранг цепи можно найти по формуле [4]:

$$r = n_C + n_L - n_{SL} - n_{KC} - n_{SC} - n_{KL}. \quad (2)$$

Обобщенные индуктивные сечения содержат УИ тока и/или нораторы (рис. 2, *a*) или управляющие ветви напряжения и/или нулаторы (рис. 2, *b*), а обобщенные емкостные контуры – УИ напряжения и/или нулаторы (рис. 2, *в*) или управляющие ветви тока и/или нулаторы (рис. 2, *г*).

Обобщенные емкостные сечения включают УИ тока и/или нораторы (рис. 3, *a*) или управляющие ветви напряжения и/или нулаторы (рис. 3, *b*), а обобщенные индуктивные контуры – УИ напряжения и/или нораторы (рис. 3, *в*) или управляющие ветви тока и/или нулаторы (рис. 3, *г*). Обобщен-

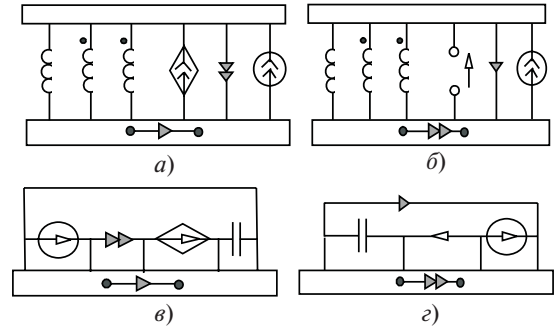


Рис. 2. Примеры обобщенных индуктивных сечений (*a*, *b*) и обобщенных емкостных контуров (*в*, *г*)

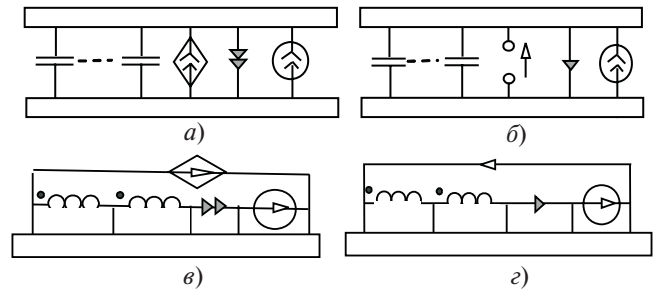


Рис. 3. Примеры обобщенных емкостных сечений (*a*, *b*) и обобщенных индуктивных контуров (*в*, *г*)

ным считается сечение или контур при любом числе упомянутых выше «обобщающих» элементов.

Возможность существования УС и их размерность для цепей с УИ определяется путем исключения зависимых переменных в избыточных промежуточных системах уравнений [1]. Поэтому необходимо выяснить, когда существуют УС на основе независимых переменных для цепей с УИ, имеющих обобщенные емкостные и/или обобщенные индуктивные контуры и сечения. Если существуют, то как сформировать коэффициенты УС, минуя построение и преобразование вспомогательных систем уравнений?

**Существование уравнений состояния для обобщенных индуктивных сечений и емкостных контуров.** Для схем с такими особенностями справедливо следующее утверждение.

*Утверждение 1.* Для цепей с УИ, имеющих обобщенные индуктивные сечения и/или обобщенные емкостные контуры, существуют (за исключением частных параметрических случаев) УС на основе независимых переменных.

*Доказательство.* Рассмотрим цепь общего вида (рис. 4, *a*). Многополюсники не содержат реактивных элементов. Обобщенные емкостный контур и индуктивное сечение включают  $n+1$  и  $k+1$  емкостей и индуктивностей соответственно. Согласно (2) при  $n_{SC} = 0$  и  $n_{KL} = 0$  схема имеет  $n+k$  переменных состояния, например напряжения  $u_{C1}, \dots, u_{Cn}$  и токи  $i_{L1}, \dots, i_{Lk}$ .

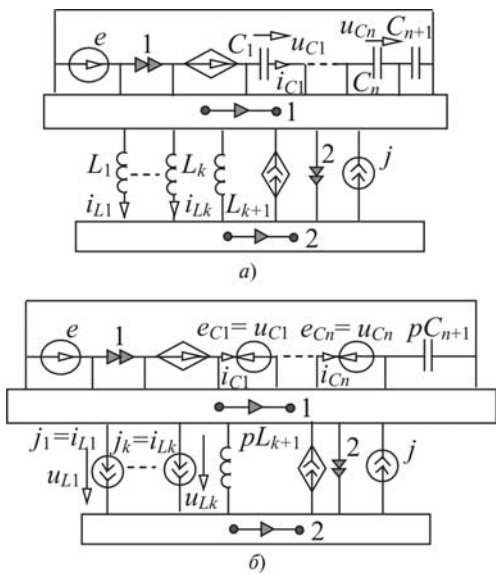


Рис. 4. Схема с обобщенным емкостным контуром и обобщенным индуктивным сечением (а) и ее схема замещения (б)

Заменим реактивные элементы с независимыми переменными – емкости  $C_1, \dots, C_n$  и индуктивности  $L_1, \dots, L_k$  на НИ напряжения  $e_1, \dots, e_n$  и НИ тока  $j_1, \dots, j_k$  соответственно. В то же время элементы с зависимыми переменными – емкость  $C_{n+1}$  и индуктивность  $L_{k+1}$  заменим операторной проводимостью и сопротивлением соответственно (рис. 4,б). Это отличает предлагаемую схему замещения от схемы [1, с. 304], в которой независимые емкости и индуктивности заменяются НИ напряжения и тока, а зависимые емкости и индуктивности – НИ тока и напряжения соответственно.

Из схемы на рис. 4,б можно выразить ток  $i_C$  через любую независимую емкость или напряжение  $u_L$  на любой независимой индуктивности через напряжения других независимых емкостей и токи других независимых индуктивностей, а также напряжения и токи НИ напряжения и тока. Так можно записать  $n+k$  уравнений. После замены в левой части этих уравнений вида  $i_C = Cdu_C / dt$  и  $u_L = Ldi_L / dt$  записываются уравнения относительно независимых переменных состояния в виде

$C_1 p u_{C1}$	$A_{C11}$	К	$A_{C1n}$	$A_{C1L1}$	К	$A_{C1Lk}$	$u_{C1}$
М	М	М	М	М	М	М	М
$C_n p u_{Cn}$	$A_{Cn1}$	К	$A_{Cnn}$	$A_{CnL1}$	К	$A_{CnLk}$	$u_{Cn}$
$L_1 p i_{L1}$	$A_{L1C1}$	К	$A_{L1Cn}$	$A_{L11}$	К	$A_{L1k}$	$i_{L1}$
М	М	М	М	М	М	М	М
$L_k p i_{Lk}$	$A_{LkC1}$	К	$A_{LkCn}$	$A_{Lk1}$	К	$A_{Lkk}$	$i_{Lk}$

$B_{C1e}$	$B_{C1j}$
М	М
$B_{Cne}$	$B_{Cnj}$
$B_{L1e}$	$B_{L1j}$
М	М
$B_{Lke}$	$B_{Lkj}$

$$= \begin{matrix} e \\ j \end{matrix}, \quad (3)$$

где  $A_{C11}, \dots, A_{C1n}$  и  $A_{Cn1}, \dots, A_{Cnn}$  – передаточные проводимости  $i_{C1}/u_{C1}, \dots, i_{C1}/u_{Cn}$  и  $i_{Cn}/u_{C1}, \dots, i_{Cn}/u_{Cn}$  соответственно;  $A_{C1L1}, \dots, A_{C1Ln}$  и  $A_{CnL1}, \dots, A_{CnLk}$  – коэффициенты передачи по току  $i_{C1}/i_{L1}, \dots, i_{C1}/i_{Ln}$  и  $i_{Cn}/i_{L1}, \dots, i_{Cn}/i_{Lk}$  соответственно;

$A_{L1C1}, \dots, A_{L1Cn}$  и  $A_{LkC1}, \dots, A_{LkCn}$  – коэффициенты передачи по напряжению  $u_{L1}/u_{C1}, \dots, u_{L1}/u_{Cn}$  и  $u_{Lk}/u_{C1}, \dots, u_{Lk}/u_{Cn}$  соответственно;  $A_{L11}, \dots, A_{L1k}$  и  $A_{Lk1}, \dots, A_{Lkk}$  – передаточные сопротивления  $u_{L1}/i_{L1}, \dots, u_{L1}/i_{Lk}$  и  $u_{Lk}/i_{L1}, \dots, u_{Lk}/i_{Lk}$  соответственно;  $B_{C1e}, \dots, B_{Cne}$  – передаточные проводимости передачи по току  $i_{C1}/j, \dots, i_{Cn}/j$ ;  $B_{L1e}, \dots, B_{Lke}$  – коэффициенты передачи по напряжению  $u_{L1}/e, \dots, u_{Ln}/e$ ;  $B_{L1j}, \dots, B_{Lkj}$  – передаточные сопротивления  $u_{L1}/j, \dots, u_{Lk}/j$ .

Каждая из схемных функций получается в виде отношения определителей схемы числителя и схемы знаменателя [5]. Схема знаменателя (общая для всех схемных функций) – характеристический полином – образуется из схемы на рис. 4,б путем нейтрализации всех НИ, замены идеальными проводниками приемников тока через емкости и удаления приемников напряжения на индуктивностях. При этом проводимость  $pC_{n+1}$  оказывается в контуре из УИ напряжения и норатора, а сопротивление  $pL_{k+1}$  в сечении из УИ тока и норатора, что упрощает схему в результате удаления  $pC_{n+1}$  и замены идеальным проводником  $pL_{k+1}$  [5]. Отсюда получается схемно-алгебраическое выражение (САВ) знаменателя:

$$D = \left| \begin{array}{c} \text{[Circuit diagram for denominator]} \\ \text{[Circuit diagram for numerator]} \end{array} \right| \cdot \quad (4)$$

Как видно, формула (4) не содержит оператора  $p$ , поскольку его нет как в многополюсниках, так и в параметрах других элементов, т.е. знаменатель коэффициентов системы (3) не может нарушить ее нормальной формы.

Для исследования влияния числителей диагональных элементов матрицы  $A$  на структуру системы (3) построим, например, САВ числителя коэффициента  $A_{C11}$ , которое формируется из схемы на рис. 4,б путем замены НИ ЭДС  $e_{C1}$  норатором противоположного направления, а приемника  $i_{C1}$  – нуллатором с номером 3. Параметры всех остальных НИ приравниваются к нулю, поэтому сопротивление индуктивности  $pL_{k+1}$  заменяется идеальным проводником, как на схеме в (4). После выделения в сформированном схемном определителе емкостной

проводимости [5] получается САВ числителя в следующем виде:

$$A'_{C11} = pC_{n+1} \left( \begin{array}{c} \text{Circuit Diagram 1} \\ \text{Circuit Diagram 2} \end{array} \right) + \left( \begin{array}{c} \text{Circuit Diagram 3} \\ \text{Circuit Diagram 4} \end{array} \right) \cdot (5)$$

Как видно, первое слагаемое числителя диагонального элемента  $A_{C11}$  включает оператор  $p$  в первой степени. Это слагаемое, деленное на знаменатель (4), переносится в левую часть первого уравнения (3) и группируется с уже находящимся там слагаемым, содержащим оператор  $p$ . Аналогично учитываются диагональные элементы и в других уравнениях системы (3).

Теперь исследуем недиагональные элементы этой же матрицы  $A$ . Рассмотрим произвольный коэффициент  $A_{C1n}$ . Схемно-алгебраическое выражение числителя этого коэффициента получается аналогично (5):

$$A'_{C1n} = pC_{n+1} \left( \begin{array}{c} \text{Circuit Diagram 5} \\ \text{Circuit Diagram 6} \end{array} \right) + \left( \begin{array}{c} \text{Circuit Diagram 7} \\ \text{Circuit Diagram 8} \end{array} \right) \cdot (6)$$

В отличие от САВ (5) первое слагаемое САВ (6) содержит производную переменную  $u_{Cn}$  и не может быть сгруппировано со слагаемым с производной переменной  $u_{C1}$  соответствующего уравнения (3). После переноса всех таких слагаемых из правой части в левую и учета, что все коэффициенты матриц  $A$  и  $B$  имеют одинаковый знаменатель  $D$ , система (3) приобретает вид

$$M \begin{pmatrix} pu_{C1} \\ M \\ pu_{Cn} \\ pi_{L1} \\ M \\ pi_{Lk} \end{pmatrix} = \frac{1}{D} \begin{pmatrix} A_{C11} & K & A_{C1n} & A_{C1L1} & K & A_{C1Lk} \\ M & M & M & M & M & M \\ A_{Cn1} & K & A_{Cnn} & A_{CnL1} & K & A_{CnLk} \\ A_{C1C1} & K & A_{C1Cn} & A_{C1L1} & K & A_{C1Lk} \\ M & M & M & M & M & M \\ A_{CkC1} & K & A_{CkCn} & A_{CkL1} & K & A_{CkLk} \end{pmatrix} \begin{pmatrix} u_{C1} \\ M \\ u_{Cn} \\ i_{L1} \\ M \\ i_{Lk} \end{pmatrix} + \frac{1}{D} \begin{pmatrix} B_{C1e} & B_{C1j} \\ M & M \\ B_{Cne} & B_{Cnj} \\ B_{C1e} & B_{C1j} \\ M & M \\ B_{Cke} & B_{Ckj} \end{pmatrix} \begin{pmatrix} e \\ j \end{pmatrix}, (7)$$

где  $M$  – квадратная матрица коэффициентов с размерностью емкостей и индуктивностей;  $A_{C11}, \dots, A_{Cnn}, \dots, A_{Ckk}$  – числители элементов матрицы  $A$  – вещественные коэффициенты;  $B_{C1e}, \dots, B_{Ckj}$  – числители элементов матрицы  $B$ .

Матрица  $M$  будет диагональной, если в цепи отсутствуют обобщенные емкостные контуры и индуктивные сечения, а также в случае, когда в каждый емкостный контур и индуктивное сечение входит только две емкости и две индуктивности, поскольку в недиагональных элементах вида (6) первое слагаемое с оператором  $p$  будет равно нулю.

Система (7) не изменится по структуре при наличии в схеме обобщенных емкостных контуров и индуктивных сечений другого типа – с управляющей ветвью тока (рис. 2,а) и управляющей ветвью напряжения (рис. 2,б) соответственно. Матрица  $M$  – неособенная, поскольку все диагональные элементы ненулевые и нет линейно зависимых строк и столбцов. Исключением является идеальный случай, когда равен единице коэффициент связи двух и более катушек индуктивности или конденсаторов, т.е. для практических цепей с УИ, содержащих обобщенные емкостные контуры и индуктивные сечения, утверждение 1 справедливо – нормальные УС существуют, и их число равно рангу цепи (2). На этом утверждении – с использованием системы (7) – основана методика формирования УС, которая состоит в нахождении передаточных функций этой системы методом схемных определителей [5].

**Невозможность формирования уравнений состояния для обобщенных емкостных сечений и индуктивных контуров.** Эти схемные особенности не уменьшают число УС в отличие от емкостных сечений, содержащих только емкости и НИ тока, и индуктивных контуров, образованных только индуктивностями и НИ напряжения. Для схем с обобщенными емкостными сечениями и индуктивными контурами справедливо следующее утверждение.

**Утверждение 2.** При наличии в схеме обобщенных емкостных сечений и/или обобщенных индуктивных контуров не существуют уравнения состояния на основе независимых переменных.

**Доказательство.** Обобщенные емкостные сечения и обобщенные индуктивные контуры снижают ранг цепи в соответствии с формулой (2), но не уменьшают число УС (1). Уравнения такой цепи на основе независимых переменных состояния не могут быть приведены к нормальной форме.

Действительно, возьмем обобщенное емкостное сечение, содержащее УИ тока и нораторы (рис. 3,а). Чтобы выразить напряжение на одной из

емкостей через напряжения других емкостей и токи источников, входящих в сечение, необходимо все слагаемые уравнения разделить на оператор  $p$ . В результате параметры УИ тока будут содержать оператор  $p$  в отрицательной степени, что приведет к появлению таких множителей в коэффициентах матрицы  $A$  из системы (3), что не допускается при формировании УС.

Аналогично в матрице  $A$  появятся слагаемые с отрицательной степенью оператора  $p$ , если в цепи будут присутствовать и другие особые структуры – обобщенные емкостные сечения с управляющей ветвью напряжения (рис. 3,б), обобщенные индуктивные контуры с УИ напряжения (рис. 3,в) или управляющей ветвью тока (рис. 3,г). Таким образом, при наличии в схеме обобщенных емкостных сечений и/или обобщенных индуктивных контуров построить УС на основе независимых переменных невозможно.

**Пример построения уравнений состояния в частном случае – для цепи с емкостным контуром и индуктивным сечением.** В схеме на рис. 5,а [1, с. 304; 3, с. 45] имеется сечение из индуктивностей и независимых источников тока и контур из емкостей и независимых источников ЭДС. Схема на рис. 5,а в соответствии с формулой (2) имеет ранг 2. В качестве независимых переменных состояния выберем напряжение  $u_1$  емкости  $C_1$  и ток  $i_3$  индуктивности  $L_3$ . Для этих переменных система (3) имеет вид

$$\begin{bmatrix} C_1 & \\ & L_3 \end{bmatrix} \begin{bmatrix} pu_1 \\ pi_3 \end{bmatrix} = \begin{bmatrix} A_{C11} & A_{C1L3} \\ A_{L3C1} & A_{L33} \end{bmatrix} \begin{bmatrix} u_1 \\ i_3 \end{bmatrix} + \begin{bmatrix} B_{C1e} & B_{C1j} \\ B_{L3e} & B_{L3j} \end{bmatrix} \begin{bmatrix} e \\ j \end{bmatrix} \quad (8)$$

Схема замещения получается заменой в схеме на рис. 5,а емкости с независимым напряжением и индуктивности с независимым током источником ЭДС  $e_1$  и источником тока  $j_3$  соответственно (рис. 5,б). Найдем ток  $i_1$  в схеме на рис. 5,б, ис-

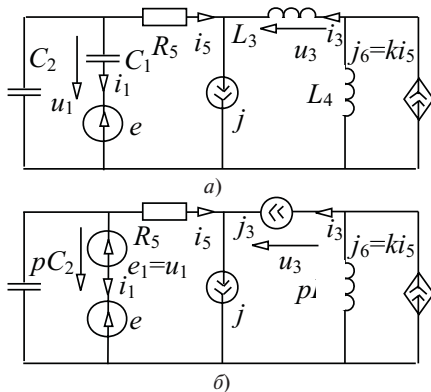


Рис. 5. Электрическая цепь с емкостным контуром и индуктивным сечением: исходная схема (а); схема замещения (б)

пользуя принцип наложения. Для этого рассмотрим четыре схемы, образованные из схемы на рис. 5,б путем оставления одного из НИ и нейтрализации других НИ (рис. 6).

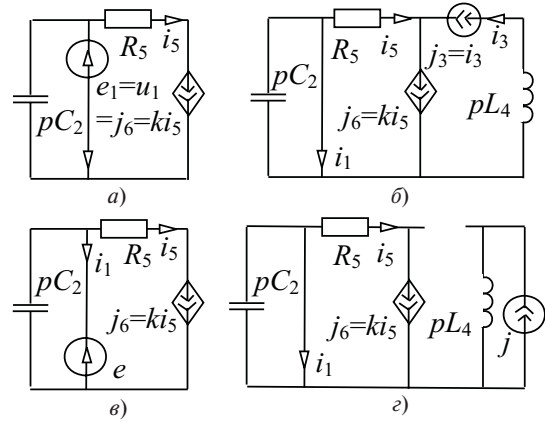


Рис. 6. Схемы для нахождения коэффициентов в первой строке системы (8)

Для схем на рис. 6,а и б можно записать уравнение  $i_5 = ki_3$ , поэтому  $i_5 = 0$  и ИТУТ нейтрализуется. Отсюда из единственного контура находятся отклики тока:  $i_1 = -pC_2 i_3$  и  $i_1 = -pC_2 e$  соответственно. В схеме на рис. 6,б  $i_1 = -i_5$ , поэтому можно записать:  $i_1 - ki_1 = i_3$  и  $i_1 = i_3 / (1 - k)$ . Схема на рис. 6,г не даст вклада в отклик  $i_1$ , поскольку единственный независимый источник тока  $j$  не образует с этим откликом пути для тока. После суммирования частных откликов получаем первое уравнение для системы (8):

$$i_1 = -pC_2 u_1 + i_3 / (1 - k) - pC_2 e. \quad (9)$$

Теперь в схеме на рис. 5,б найдем напряжение  $u_3$ , используя принцип наложения. Для этого рассмотрим четыре схемы, образованные из схемы на рис. 5,б путем оставления одного из НИ и нейтрализации других НИ (рис. 7).

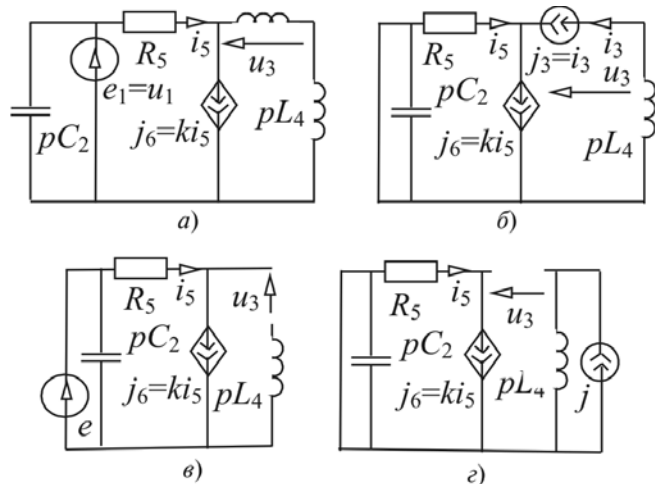


Рис. 7. Схемы для нахождения коэффициентов во второй строке системы (8)

Для схем на рис.7,а, в и г можно записать уравнение  $i_5 = ki_5$ , поэтому  $i_5 = 0$  и ИТУТ нейтрализуется. Отсюда из соответствующих единственных контуров находятся отклики напряжения:  $u_3 = -u_1$ ,  $u_3 = -e$  и  $u_3 = pL_4j$ . Для схемы на рис.7,б можно записать уравнения:  $i_5 = ki_5 - i_3$  и  $i_5 = -i_3 / (1 - k)$ , а затем  $u_3 = -[pL_4 + R_5 / (1 - k)]i_3 - e + pL_4j$ . После суммирования частичных откликов получаем второе уравнение для системы (8):

$$u_3 = -u_1 - [pL_4 + R_5 / (1 - k)]i_3 - e + pL_4j. \quad (10)$$

После подстановки уравнений (9) и (10) в систему (8) получаем

$$\begin{bmatrix} C_1 + C_2 & 0 & pu_1 \\ 0 & L_3 + L_4 & pi_3 \end{bmatrix} = \begin{bmatrix} 0 & 1/(1-k) & u_1 \\ -1 & -R_5/(1-k) & i_3 \end{bmatrix} + \begin{bmatrix} -pC_2 & 0 & e \\ -1 & pL_4 & j \end{bmatrix}, \quad (11)$$

Уравнения состояния (11), сформированные непосредственно на основе двух независимых переменных состояния, совпадают с УС в [1] и [3] при подстановке численных значений параметров. В [1] УС получаются на основе вспомогательной системы из пяти уравнений трудоемким нахождением параметров десятиполюсника и исключением трех лишних переменных, а в [3] УС формируются исключением избыточных уравнений из десяти уравнений, построенных на основе нормального дерева.

**Пример построения уравнений состояния для цепи с емкостным контуром и обобщенным индуктивным сечением.** Рассмотрим схему, полученную из схемы на рис. 5,а взаимной заменой УИ тока  $j_6$  и НИ тока  $j$  (рис. 8,а). В схеме имеется один емкостный контур и одно обобщенное индуктивное сечение, поэтому в соответствии с формулой (2) ранг схемы равен 2. Независимыми переменными состояния, как и в предыдущем примере, выберем напряжение  $u_1$  емкости  $C_1$  и ток  $i_3$  индуктивности  $L_3$ . Соответствующая система уравнений также будет иметь

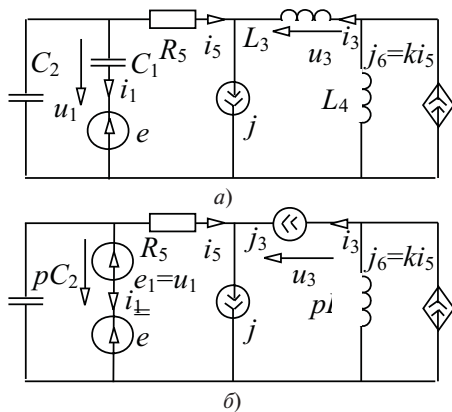


Рис. 8. Электрическая цепь с емкостным контуром и обобщенным индуктивным сечением: исходная схема (а); схема замещения (б)

вид (8). Схема замещения исходной цепи получается аналогично схеме на рис. 5,б (рис. 8,б).

Найдем ток  $i_1$  в схеме на рис. 8,б, используя принцип наложения. Для этого рассмотрим четыре схемы, образованные из схемы на рис. 8,б оставлением одного из НИ и нейтрализацией других НИ (рис. 9). Визуальный анализ простых схем на рис. 9,а–г приводит к четырем слагаемым для искомого тока:

$$i_1 = -pC_2u_1 - i_3 + pC_2e + j. \quad (12)$$

Теперь найдем напряжение  $u_3$  в схеме на рис. 8,б, используя принцип наложения. Для этого рассмотрим четыре схемы, образованные из схемы на рис. 8,б путем оставления одного из НИ и нейтрализации других НИ (рис. 10). Визуальный анализ простых схем на рис. 10,а–г приводит к четырем слагаемым для искомого напряжения:

$$u_3 = u_1 - [R_5 + (k + 1)pL_4]i_3 - e + (R_5 + kpL_4)j. \quad (13)$$

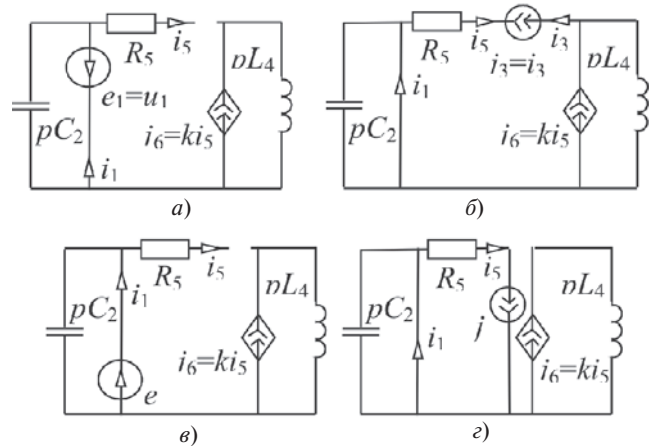


Рис. 9. Схемы для нахождения коэффициентов в первой строке системы (8)

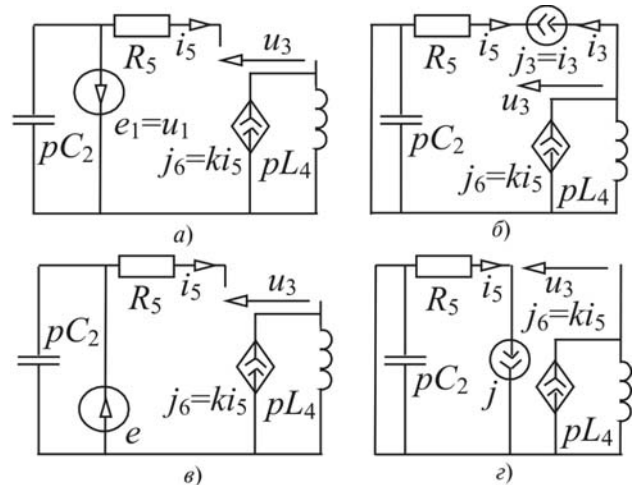


Рис. 10. Схемы для нахождения коэффициентов во второй строке системы (8)

После подстановки уравнений (12) и (13) в уравнение (8) получаем

$$\begin{bmatrix} (C_1 + C_2) p u_1 \\ [L_3 + L_4(k+1)] p i_3 \end{bmatrix} = \begin{bmatrix} 0 & 1 & u_1 \\ 1 & -R_5 & i_3 \end{bmatrix} + \begin{bmatrix} p C_2 & 1 & e \\ -1 & p L_4 k + R_5 & j \end{bmatrix}. \quad (14)$$

Уравнение (14) можно получить более трудоемким путем [1] – построением уравнений относительно всех четырех переменных состояния и исключением двух зависимых переменных.

**Выводы.** 1. Доказано, что для цепей с управляемыми источниками, содержащими обобщенные емкостные контуры и индуктивные сечения, существуют уравнения состояния в нормальной форме, число которых меньше общего числа емкостей и индуктивностей на число указанных контуров и сечений.

2. Предложена методика формирования уравнений состояния минимальной размерности без построения промежуточных систем уравнений и исключения зависимых переменных.

#### СПИСОК ЛИТЕРАТУРЫ

1. Чуа Л.О., Лин П.М. Машинный анализ электронных схем/Пер. с англ. – М.: Энергия, 1980, 640 с.
2. Ракитский Ю.В., Устинов С.М., Черноуцкий И.Г. Численные методы решения жестких систем. – М.: Наука, 1979, 208 с.

3. Ионкин П.А., Максимович Н.Г., Перфильев Ю.С., Стахов П.Г. Синтез линейных электрических и электронных цепей. Метод переменных состояния. – Львов: Вища школа, 1982, 312 с.

4. Курганов Д.С., Курганов С.А., Филаретов В.В. Нахождение порядка сложности произвольной активной электрической цепи методом схемных определителей. – Международ. сб. науч. тр. «Синтез, анализ и диагностика электронных цепей», вып. 6. – Ульяновск: УлГТУ, 2008, с. 140–151.

5. Филаретов В.В. Топологический анализ электронных схем методом выделения параметров. – Электричество, 1998, № 5, с. 43–52.

[27.12.12]

*Авторы: Курганов Сергей Александрович окончил радиотехнический факультет Ульяновского политехнического института (ныне Ульяновский государственный технический университет – УГТУ). В 2006 г. защитил докторскую диссертацию «Символьный анализ и диакоптика линейных электрических цепей» в Санкт-Петербургском государственном политехническом институте. Профессор, зам. зав. ведущего кафедрой «Электроснабжение» УГТУ.*

*Филаретов Владимир Валентинович окончил радиотехнический факультет Ульяновского политехнического института в 1982 г. В 2002 г. защитил докторскую диссертацию «Топологический анализ электрических цепей на основе схемного подхода» в МЭИ. Профессор кафедры «Электроснабжение» УГТУ.*

\* \* \*

### ЧИТАТЕЛЯМ, ПОДПИСЧИКАМ, РЕКЛАМОДАТЕЛЯМ ЖУРНАЛА «ЭЛЕКТРИЧЕСТВО»

Подписка в России и странах СНГ принимается в отделениях связи.

Для желающих представить в журнал статью сообщаем, что правила подготовки рукописей публикуются в №№ 6 и 12 каждого года.

Реклама в черно-белом изображении может быть размещена на страницах журнала и на его обложке, а также в виде вкладки.

Возможно размещение рекламы в цветном изображении (стоимость по договоренности).

При повторении той же рекламы в следующем номере – скидка 10%. При публикации той же рекламы в третьем и последующих номерах – скидка 20%. Стоимость оплаты рекламных статей – по договоренности. Последний срок представления рекламного материала – за 1,5 месяца до выхода номера из печати (обычно номер выходит в середине каждого месяца).

Адрес для переписки: 101000 Москва, Главпочтамт, а/я 648

тел./факс: (495)362-7485

E-mail: l.s.kudinova@rambler.ru